

Annex 4. Mapes d'isoconductivitat

En aquest annex es presenten els mapes d'isoconductivitat obtinguts per mitjà del software Arc-Gis. Segons el nombre de dades disponible s'han utilitzat diferents mètodes d'interpolació com ara la tècnica de *Krige* i el mètode de la distància inversa ponderada.

Prèviament a la tècnica de *Krige* s'ha realitzat una anàlisi exploratòria de dades. Els resultats i la informació obtinguda a partir de l'AEDE han estat incorporades en el programari emprat.

Els continguts d'aquest annex son:

- Figura 1. Interpolació de la conductivitat per IDW i *Krige*at ordinari aplicat a les dades de l'aquífer ACM l'any 2010, en el període d'hivern i primavera respectivament.
- Figura 2. Interpolació de la conductivitat per IDW aplicat a les dades de l'aquífer APBT l'any 2011, en el període d'hivern.
- Figura 3. Interpolació de la conductivitat per IDW aplicat a les dades de l'aquífer APFM l'any 2008 en el període de primavera i en l'any 2011 en el període d'hivern.
- Figura 4. Interpolació de la conductivitat per IDW aplicat a les dades de l'aquífer ASBT l'any 2010, en el període primavera.
- Figura 5. Interpolació de la conductivitat per *Krige*at ordinari i IDW aplicat a les dades de l'aquífer ASBT l'any 2011, en el període d'hivern i primavera respectivament.
- Figura 6. Interpolació de la conductivitat per IDW aplicat a les dades de l'aquífer ASFM l'any 2009 en el període de primavera i en l'any 2010 en el període de primavera.

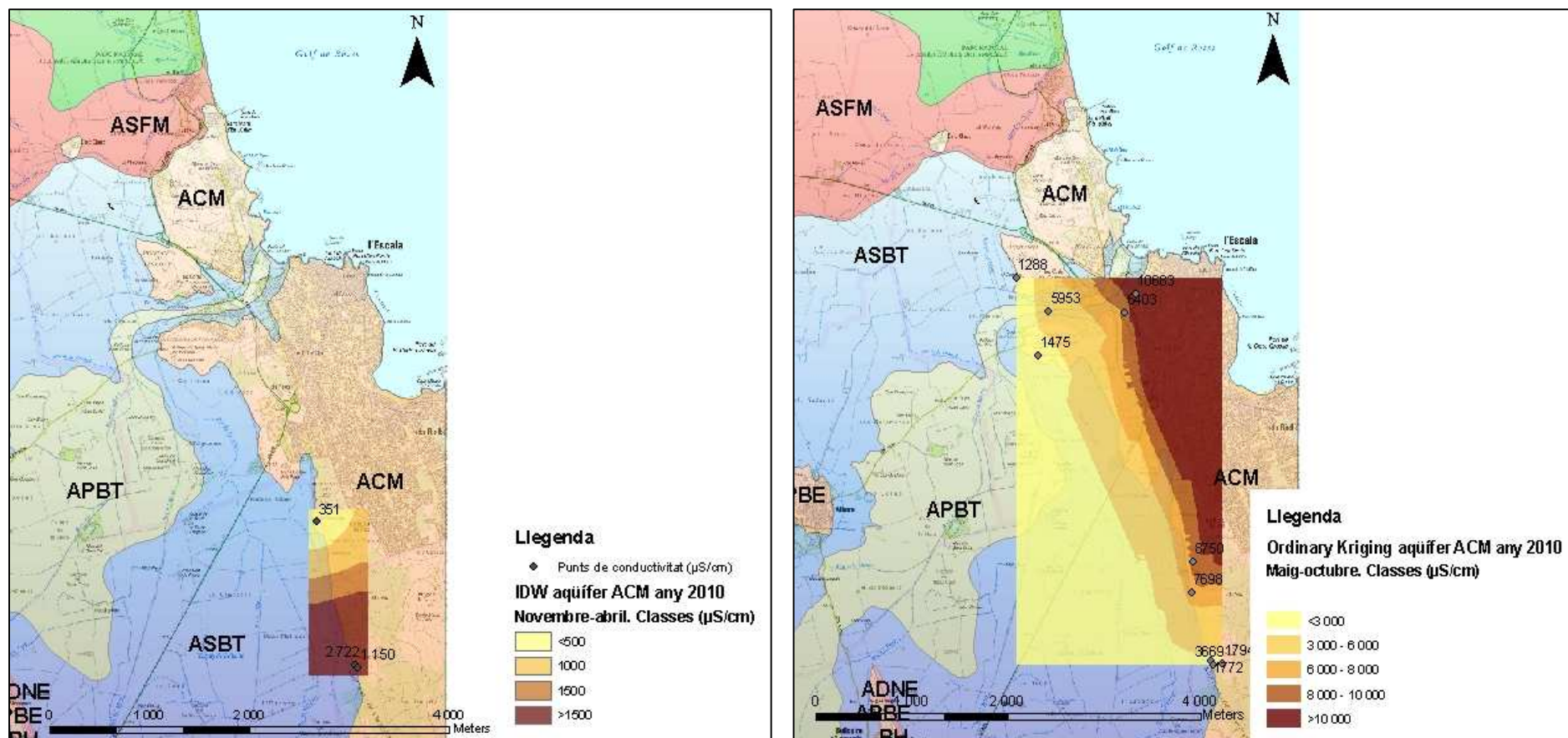


Figura 1. Interpolació de la conductivitat per IDW i Krigiat ordinari aplicat a les dades de l'aquífer ACM l'any 2010, en el període d'hivern i primavera respectivament.

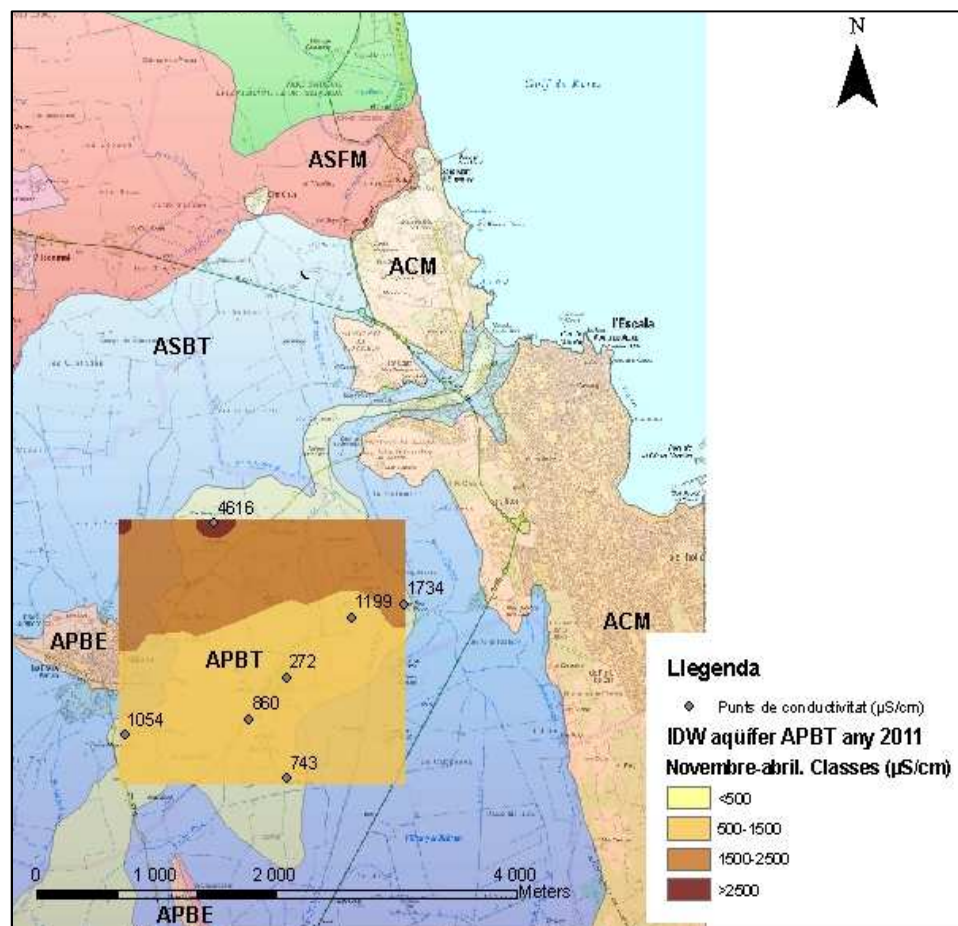


Figura 2. Interpolació de la conductivitat per IDW aplicat a les dades de l'aqüífer APBT l'any 2011, en el període d'hivern.

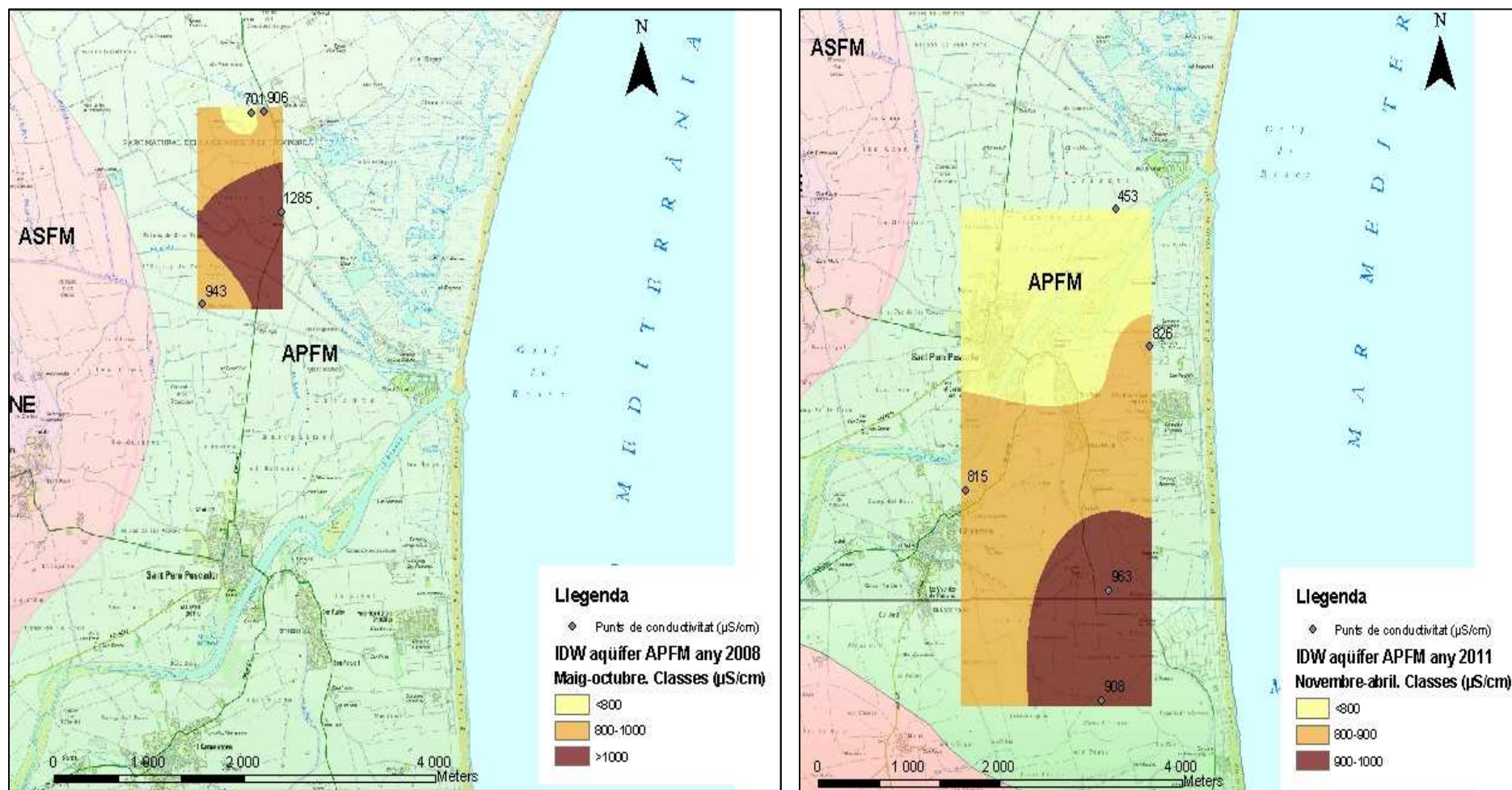


Figura 3. Interpolació de la conductivitat per IDW aplicat a les dades de l'aquífer APFM l'any 2008 en el període de primavera i en l'any 2011 en el període d'hivern.

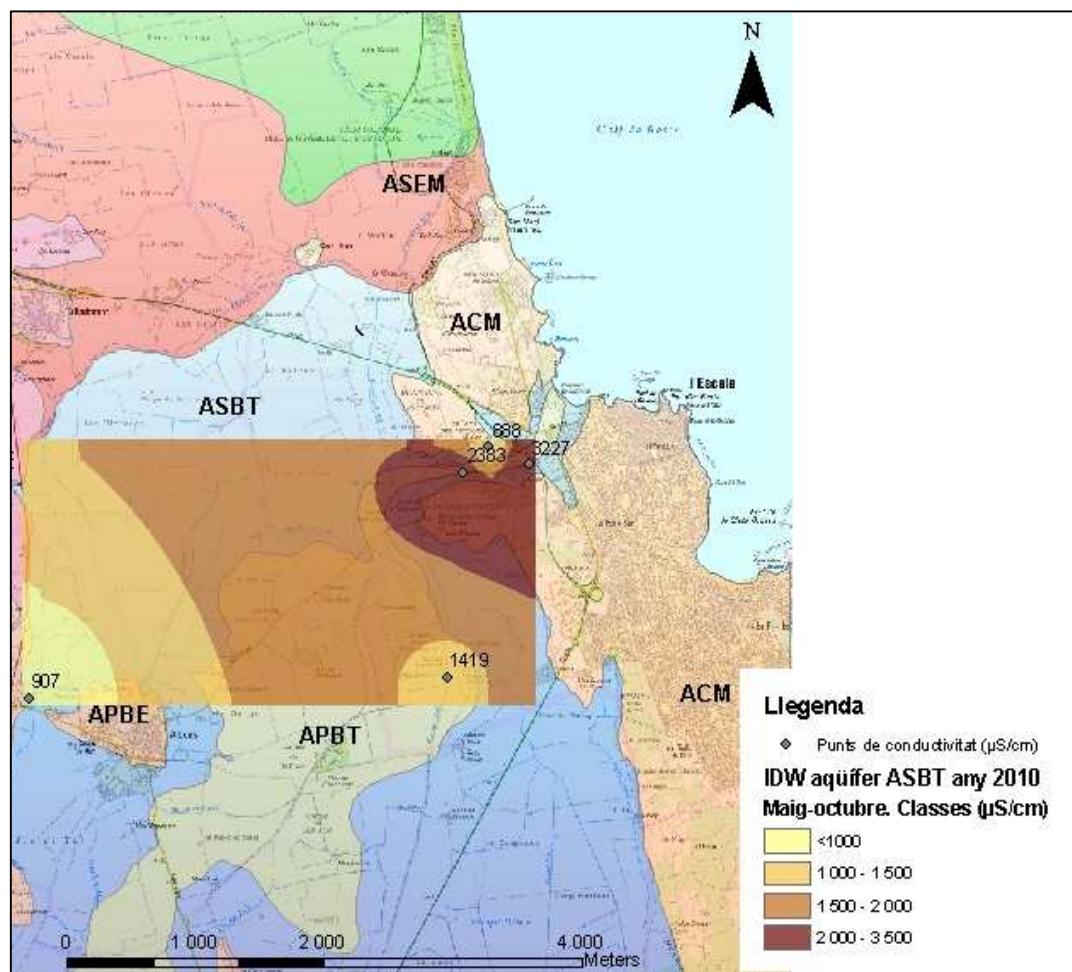


Figura 4. Interpolació de la conductivitat per IDW aplicat a les dades de l'aqüífer ASBT l'any 2010, en el període primavera.

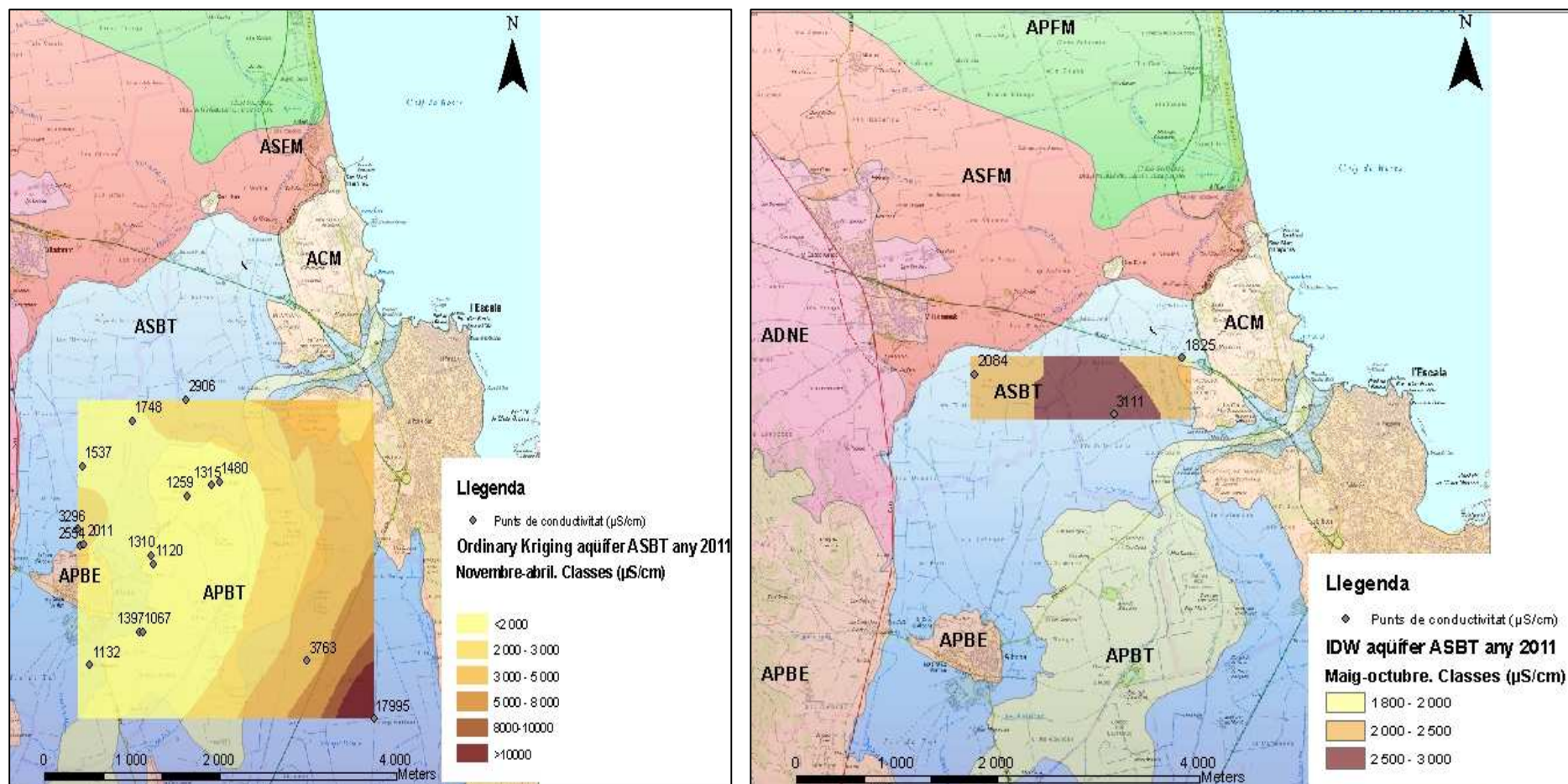


Figura 5. Interpolació de la conductivitat per Krigeat ordinari i IDW aplicada a les dades de l'aquífer ASBT l'any 2011, en el període d'hivern i primavera respectivament.

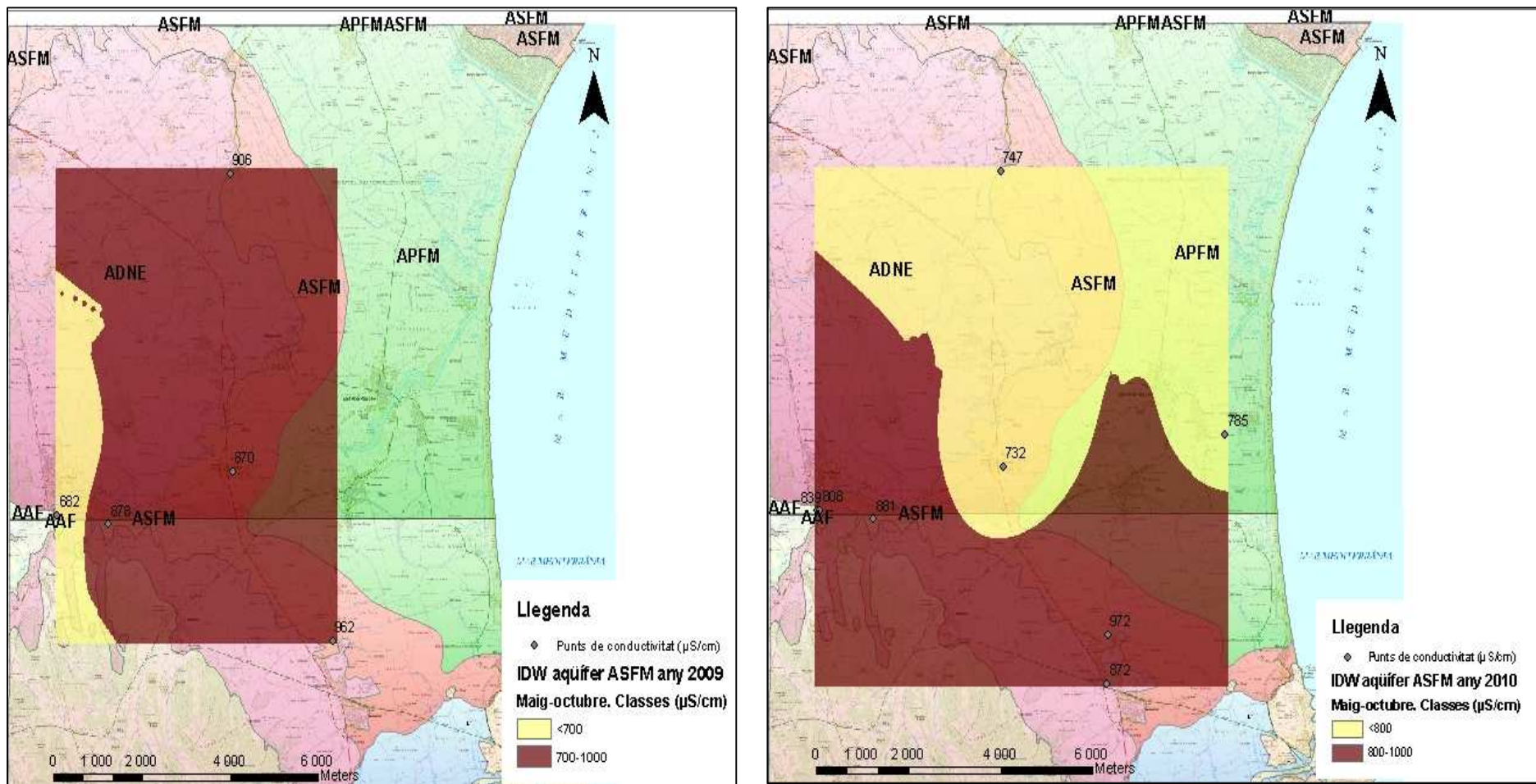


Figura 6. Interpolació de la conductivitat per IDW aplicat a les dades de l'aquífer ASF l'any 2009 en el període de primavera i en l'any 2010 en el període de primavera.